El Niño: diagnóstico y perspectivas

Basado en https://www.cpc.ncep.noaa.gov/products/analysis_monitoring/enso_advisory/ensodisc_Sp.shtml de NOAA

REPORTE EN ESPAÑOL | EMISIÓN: 8 OCTUBRE 2026

Mensaje principal. El Niño continúa fortaleciéndose. El Centro de Predicción Climática (CPC-NOAA) mantiene la advertencia de El Niño y prevé condiciones fuertes a muy fuertes hasta enero-marzo de 2027, con probabilidades superiores al 83 %. El horizonte abarca la primavera y el verano de 2026-2027 en el hemisferio sur.

Estado observado

En septiembre, las anomalías superficiales superaron +4,0 °C en sectores del Pacífico ecuatorial oriental. Los índices alcanzaron +2,1 °C en Niño-3.4, +3,0 °C en Niño-3 y +3,9 °C en Niño-1+2.

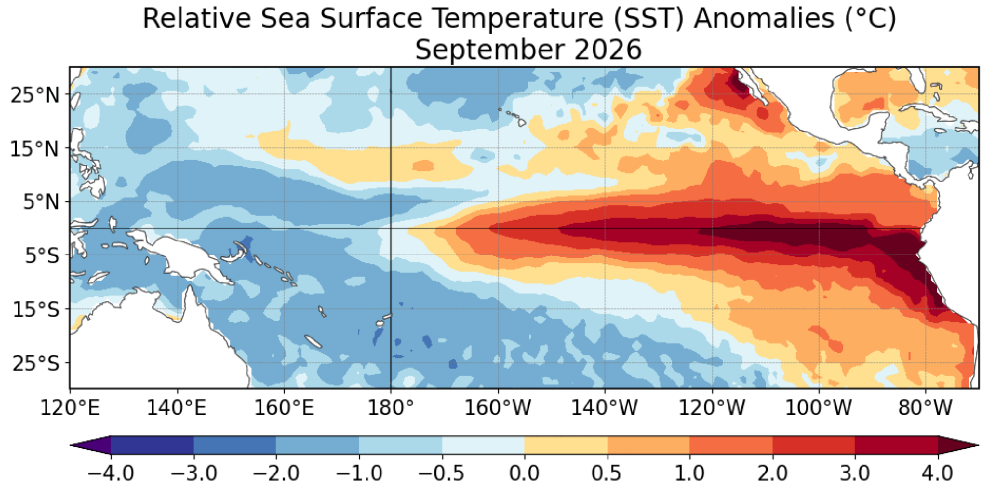


Figura 1. Anomalías promedio (°C) de la temperatura relativa de la superficie del océano (SST, por sus siglas en inglés) para septiembre de 2026. Las anomalías son calculadas utilizando como referencia los promedios mensuales del período base de 1991-2020. Datos: OISSTv2.1. https://www.cpc.ncep.noaa.gov/products/analysis_monitoring/enso_update/Monthly_RelSSTA_map-hr.png

Figura 1. Distribución espacial de las anomalías relativas de temperatura superficial del mar en septiembre de 2026. Fuente: CPC-NOAA.

Fuente: CPC-NOAA, Discusión Diagnóstica ENSO, 8 de octubre de 2026. Traducción oficial: NWS-WFO San Juan, Puerto Rico. Figuras originales de la página citada; numeración conservada.

Evolución de los índices Niño

Basado en https://www.cpc.ncep.noaa.gov/products/analysis_monitoring/enso_advisory/ensodisc_Sp.shtml de NOAA

Las regiones Niño permiten seguir el contraste térmico entre distintos sectores del Pacífico ecuatorial. Niño-3.4 es una referencia central del seguimiento de ENSO; Niño-1+2 representa su extremo oriental próximo a Sudamérica.

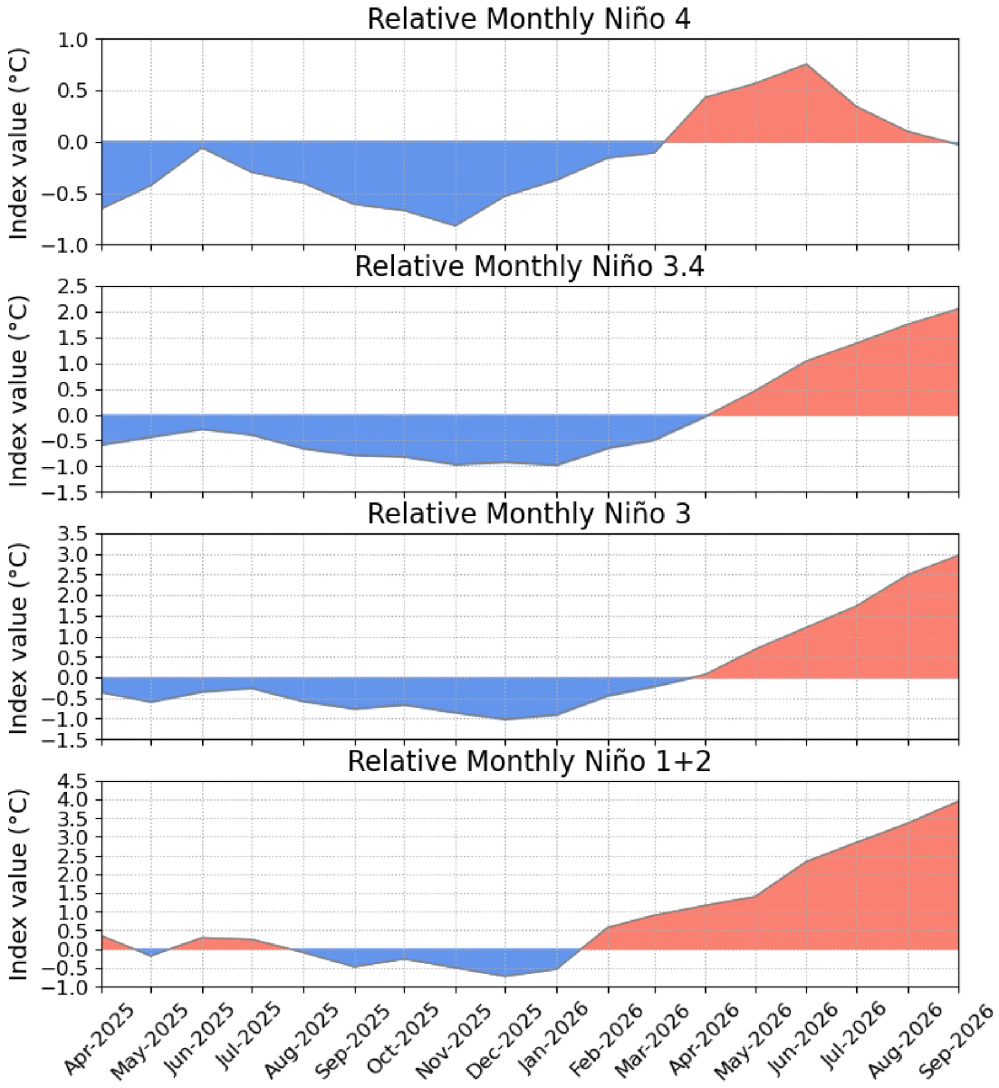


Figura 2. Series de Tiempo de las anomalías (en °C) de temperatura relativa de la superficie del océano (SST) en regiones de El Niño [Niño-4 (5ºN-5ºS, 160ºE-150ºO), Niño-3.4 (5°N-5°S, 170°O-120°O), Niño-3 (5°N-5°S, 150°O-90°O), Niño-1+2 (0°-10°S, 90°O-80°O) menos el promedio tropical (20°N-20°S). Los índices relativos son reajustados para igualar la varianza de los índices tradicionales Las anomalías son variaciones de los promedios mensuales del período base de 1991-2020. Datos: OISSTv2.1. https://www.cpc.ncep.noaa.gov/products/analysis_monitoring/enso_update/rel_nino_month-hr.png

Figura 2. Series mensuales de las cuatro regiones Niño. Las curvas muestran la evolución temporal y permiten comparar la intensidad del calentamiento entre regiones. Fuente: CPC-NOAA.

Señales oceánicas y atmosféricas

Basado en https://www.cpc.ncep.noaa.gov/products/analysis_monitoring/enso_advisory/ensodisc_Sp.shtml de NOAA

El calor subsuperficial y la termoclina más profunda acompañan el fortalecimiento del sistema. Persistieron anomalías superiores a +10 °C a profundidad en el Pacífico oriental, junto con vientos anómalos del oeste en niveles bajos y del este en niveles altos.

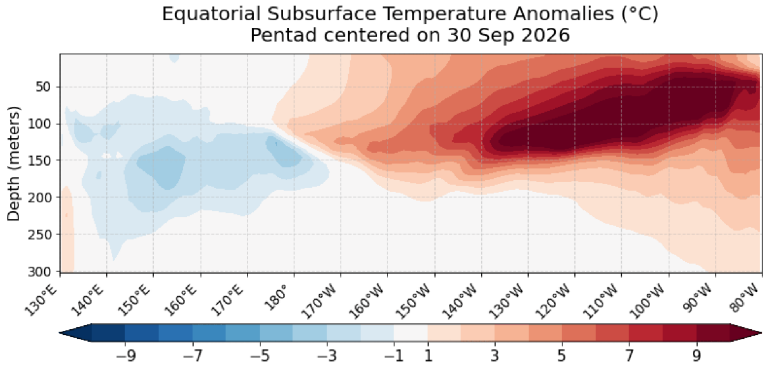


Figura 4. Sección de profundidad-longitud de las anomalías de temperatura de la capa superior del océano (0-300 m) en el Pacífico ecuatorial (°C), centrada en el penta periodo del 30 de septiembre de 2026. Las anomalías son desviaciones respecto a los penta promedios del período base 1991-2020. Datos: GODAS.
https://www.cpc.ncep.noaa.gov/products/analysis_monitoring/enso_update/zlon_last-hr.png

Figura 4. Corte de anomalías térmicas entre la superficie y 300 m de profundidad, centrado el 30 de septiembre de 2026. Fuente: CPC-NOAA.

La convección y las lluvias se reforzaron en el Pacífico central y oriental y se redujeron sobre Indonesia. La radiación saliente de onda larga (OLR) ayuda a identificar la distribución de la nubosidad convectiva.

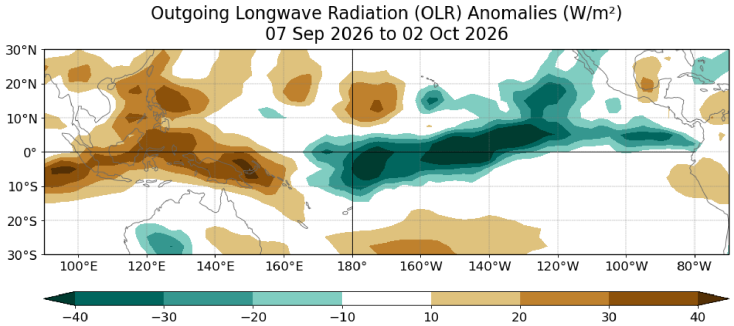


Figura 5. Anomalías promedio de radiación de onda larga saliente (OLR, por sus siglas en inglés) (W/m²) para el período del 7 de septiembre al 2 de octubre de 2026. Las anomalías de OLR se calculan como desviaciones respecto a los penta promedios del período base 1991-2020. Datos: CBOv1.
https://www.cpc.ncep.noaa.gov/products/analysis_monitoring/enso_update/olra_last30days-hr.png

Figura 5. Anomalías de OLR del 7 de septiembre al 2 de octubre de 2026. Valores negativos suelen asociarse con mayor nubosidad convectiva. Fuente: CPC-NOAA.

Pronóstico oficial del CPC-NOAA

Basado en https://www.cpc.ncep.noaa.gov/products/analysis_monitoring/enso_advisory/ensodisc_Sp.shtml de NOAA

La perspectiva integra observaciones y múltiples modelos y prevé fortalecimiento hasta finales de 2026. La curva central resume el pronóstico y las bandas representan intervalos probabilísticos de incertidumbre.

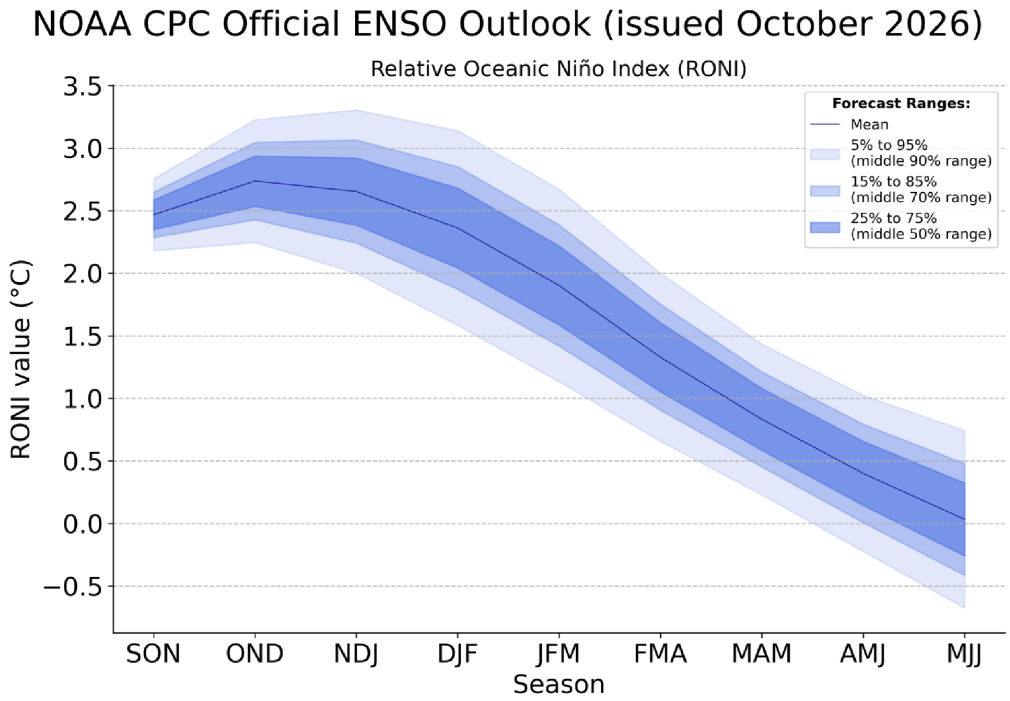


Figura 6. Perspectiva oficial del ENSO (°C) para el índice relativo de temperatura en la superficie del mar de la región Niño-3.4 (5°N-5°S, 170°O-120°O) menos el promedio tropical (20°N-20°S). El índice relativo se ha reajustado para coincidir con la varianza del índice tradicional. Figura actualizada el 8 de octubre de 2026. Imagen/tabla en mayor resolución: https://www.cpc.ncep.noaa.gov/products/analysis_monitoring/enso/roni/outlook/

Figura 6. Pronóstico del índice oceánico relativo Niño (RONI), emitido el 8 de octubre de 2026. Fuente: CPC-NOAA.

Cómo leerla. Cada etiqueta corresponde a tres meses superpuestos: OND es octubre-diciembre; NDJ, noviembre-enero; DJF, diciembre-febrero; JFM, enero-marzo. Las bandas muestran un abanico de resultados posibles, no una trayectoria asegurada.

Probabilidades de intensidad

Basado en https://www.cpc.ncep.noaa.gov/products/analysis_monitoring/enso_advisory/ensodisc_Sp.shtml de NOAA

El diagnóstico informa estas probabilidades de alcanzar un RONI trimestral de +2,5 °C o más, umbral que utiliza al describir la posibilidad de un evento histórico:

Temporada	Periodo	Probabilidad
SON 2026	Septiembre-noviembre	54 %
OND 2026	Octubre-diciembre	83 %
NDJ 2026-2027	Noviembre-enero	70 %

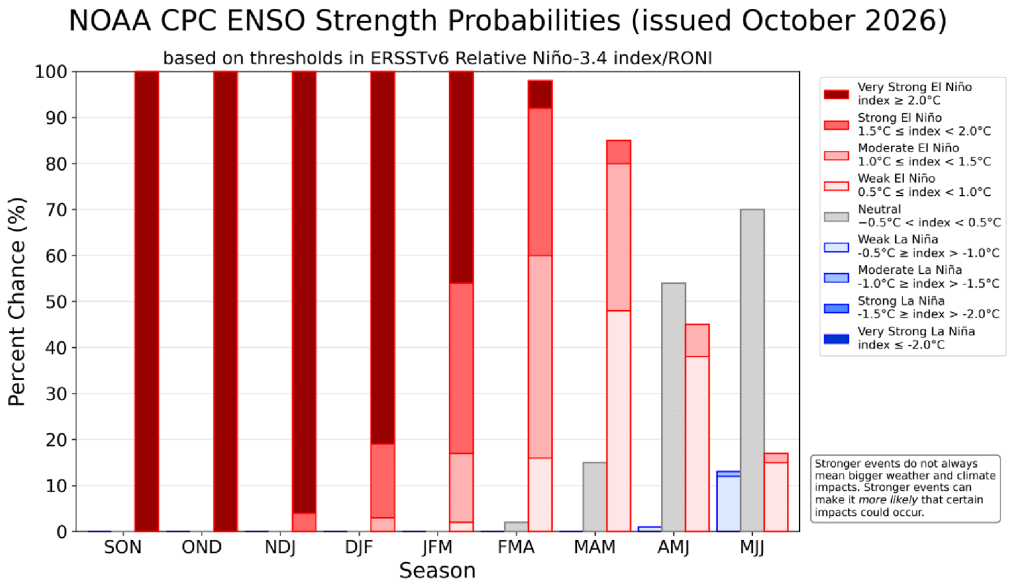


Figura 8. Probabilidades de intensidad de ENSO para el índice relativo de temperatura de la superficie del mar de la región Niño-3.4 (5°N-5°S, 170°O-120°O) menos el promedio tropical (20°N-20°S). El índice relativo se ha reajustado para coincidir con la varianza del índice tradicional. Figura actualizada el 8 de octubre de 2026. Imagen/tabla en mayor resolución: https://cpc.ncep.noaa.gov/products/analysis_monitoring/enso/roni/strengths/

Figura 8. Probabilidades por categorías de intensidad. La clase “muy fuerte” de esta gráfica comienza en +2,0 °C y es distinta del umbral de +2,5 °C de la tabla. Fuente: CPC-NOAA.

Una mayor intensidad de ENSO incrementa la probabilidad de sus impactos típicos, pero no garantiza su ocurrencia. La próxima discusión está prevista para el 12 de noviembre de 2026.

Fuente: CPC-NOAA, Discusión Diagnóstica ENSO, 8 de octubre de 2026. Traducción oficial: NWS-WFO San Juan, Puerto Rico. Figuras originales de la página citada; numeración conservada.